

JERZY MAŁECKI

MAŁŻORACZKI DOLNOKREDOWE Z WĄWAŁU KOŁO TOMASZOWA MAZOWIECKIEGO

(Tabl. XVI — XVIII i 3 fig.)

Ostracodes du Crétacé inférieur de la localité Wąwał près de Tomaszów Mazowiecki

Streszczenie. Autor podaje oznaczenia małżoraczków z walażynu Wąwału koło Tomaszowa Maz. Stwierdził obecność 17 gatunków w tym 1 n. sp., następnie przeprowadza porównanie tej fauny z fauną małżoraczków podaną w pracy

(Pl. XVI — XVIII et 3 fig.)

J. S z t e j n z 1957.

W roku 1954 w czasie kartowania okolic Białej Góry koło Tomaszowa Maz. pobrałem około 2-kilogramową próbkę iłów neokomskich z glinianki cegielni w Wąwale z warstwy należącej stratygraficznie do walażynu. Po przeszlamowaniu stwierdziłem w nich bardzo piękną faunę otwornicowo-małżoraczkową. Te ostatnie specjalnie mnie zainteresowały z racji swego pięknego stanu zachowania i stosunkowo dużej różnorodności gatunków. Po oznaczeniu większości gatunków z braku kompletnej literatury zaniechałem ich dalszego opracowania. Do ukończenia zaczętej pracy skłoniło mnie wydanie w 1957 publikacji J. S z t e j n pt. „Stratygrafia mikropaleontologiczna dolnej kredy w Polsce środkowej”. W pracy tej autorka podaje oprócz opisów otwornic również zespół dolnokredowych małżoraczków.

Po ponownym przeglądnięciu moich zbiorów małżoraczków z rysunkami i opisami J. S z t e j n zauważyłem duże rozbieżności w naszych oznaczeniach. W celu uzyskania materiałów porównawczych zwracałem się bezpośrednio dwukrotnie do J. S z t e j n jak również do I.G., zbiory te jednak nie zostały mi udostępnione, mimo iż J. S z t e j n posiada opisane okazy w dziesiątkach a nawet w setkach egzemplarzy.

Opracowanie zespołu małżoraczków neokomskich z Wąwału wykazało, iż większość form w pracy J. S z t e j n jest błędnie oznaczonych (na

14 gatunków 3 oznaczone są dobrze) oraz że podana lista nie jest kompletna. Dlatego też uważam za wskazane opublikowanie niniejszej notatki, w której podaję opisy gatunków już to nie zamieszczonych w pracy autorki, już to błędnie opisanych lub niejasno przedstawionych rysunkiem. Opisy autorki są tak lakoniczne i niezrozumiałe, że odnieść je można do kilku form, a zrozumieć nieraz bardzo trudno. Wprowadzając nową nazwę do literatury musimy ją dokładnie sprecyzować opisem i udokumentować rycinami, czego J. Sztejn nie robi. Opisy nowych gatunków w pracy J. Sztejn są bardzo ogólnikowe, rysunki (często fałszywe) skorupek prawych nie mówią nam nic o skorupkach lewych, które w większości wypadków u małżoraczków są innego kształtu. Również nie zwraca autorka uwagi na zmiany kształtu pancerzyków w rozwoju osobniczym, czego dowodem jest fakt, iż formy młodociane opisuje jako nowe gatunki. Rysunki w większości wypadków nie są wierne, ułożenie zaś ich na tablicach jest chaotyczne. Zwykle małżoraczki ustawia się tak, by oś skorupki była równoległa do poziomu, tymczasem J. Sztejn ustawia oś pod różnymi kątami do pionu, stronami przednimi zaś bardzo różnie, raz w dół, raz ku górze. Takie ułożenie rysunków utrudnia porównywanie gatunków. Również terminologia J. Sztejn nie zawsze jest poprawna np. zamiast wierzch skorupki ma być strona zewnętrzna, zamiast szerokość ma być wysokość itd. Autorka nie zwróciła również uwagi na dymorfizm płciowy jak również na zmienność zachodzącą w wykształceniu obu skorupek. Wymienione przykładowo usterki świadczą, że praca J. Sztejn wymaga rewizji.

Dla uzupełnienia trzeba dodać, że St. Liszka w notatce pt. „Przyczynki do znajomości mikrofauny dolnej kredy okolic Tomaszowa Mazowieckiego” podaje 3 gatunki małżoraczków (*Protocythere nodigera* Trieb., *Cytheridea perforata* (R o e m.), *Cytheridea* cf. *hilseana* (R o e m.)), formy te nie są opisane ani też przedstawione rysunkiem, dlatego też nie jestem w stanie porównać ich z posiadanymi okazami.

PORÓWNAWCZE ZESTAWIENIE LISTY MAŁŻORACZKÓW OZNACZONYCH
PRZEZ J. SZTEJN I AUTORA

lista J. Sztejn	lista autora
<i>Cytherella staringi</i> van Veen 1932	<i>Cytherella ovata</i> (Roemer) 1841
	<i>Cytherelloidea williamsoniana</i> (Jones) 1849
<i>Cytherelloidea subgoodlandensis</i> Vanderpool 1938	<i>Cytherelloidea subgoodlandensis</i> Vanderpool 1938
	<i>Cytherelloidea subgoodlandensis</i> var.
	<i>Bairdia subdeltoidea</i> (Münster) 1849
	<i>Paracypris siliqua</i> (Jones) 1849
	<i>Stenocypris harrisiana</i> (Jones) 1849
<i>Cytheridea nana</i> Triebel 1938	} <i>Cytheridea thörenensis</i> Triebel 1938
<i>Cytheridea rara</i> Triebel 1938	
<i>Cytheridea thörenensis</i> Triebel 1938	
<i>Protocythere tomaszowiensis</i> Sztejn 1957	
<i>Protocythere valangiensis</i> Sztejn 1957	

<i>Cytheridea kummi</i> Triebel 1938	<i>Cytheridea kummi</i> Triebel 1938
<i>Cytheridea vonvalensis</i> Sztejn 1957	<i>Cytheridea vonvalensis</i> Sztejn 1957
<i>Protocythere auriculata</i> (Cornuel) 1846	<i>Dolocytheridea hilseana</i> (Roemer) 1841
<i>Protocythere triplicata</i> (Roemer) 1841	<i>Protocythere auriculata</i> (Cornuel) 1846
<i>Cytheris senckenbergi</i> Triebel 1940	<i>Protocythere frankei</i> Triebel 1938
<i>Exophthalmocythere aff. phyllopterum</i> (Bosq.) 1847	<i>Protocythere propria</i> Sharapova 1939
<i>Orthonotacythere polonica</i> Sztejn 1957	<i>Exophthalmocythere hispida</i> n. sp.
	<i>Orthonotacythere diglypta</i> Triebel 1941
	<i>Loxoconcha</i> sp.

Podgromada: *OSTRACODA* (Latreille) 1802

Rząd: *Podocopida* Pokorný 1953

Podrząd: *Platycopa* Sars 1866

Rodzina: *Cytherellidae* Sars 1866

Rodzaj: *Cytherella* Jones 1849

Cytherella ovata (Roemer) 1841

1841 *Cytherina ovata* Roemer; Roemer F. (1), str. 104, tabl. XVI, fig. 21.

1849 *Cytherella ovata* (Roemer); Jones T. (4), str. 28, tabl. VII, fig. 24.

1890 *Cytherella ovata* (Roemer); Jones T. & Hinde G. (6), str. 44, tabl. III,
fig. 48—54, tabl. IV, fig. 39.

1948 *Cytherella ovata* (Roemer); Schmit A. (22), str. 405, tabl. 61, fig. 3.

1957 *Cytherella staringi* van Veen; Sztejn J. (27), str. 87, tabl. XII, fig. 104.

Ilość okazów: około 150 (w tym 28 całych pancerzyków)

Wymiary: ♂ długość skorupki lewej — 0,92 — 0,96 mm
wysokość „ „ — 0,52 — 0,55 mm
♀ długość skorupki lewej — 0,84 — 0,88 mm
wysokość „ „ — 0,50 — 0,53 mm

O p i s. Pancierz owalnie wydłużony, gładki, błyszczący. Skorupka lewa i prawa wykazują znaczną zmienność kształtu. Prawa większa na całym obwodzie obejmuje skorupkę lewą mniejszą. Prawa skorupka ma część przednią i tylną prawie jednakowe, o równo zaokrąglonych brzegach. Brzeg grzbietowy łukowato wygięty, brzuszny prawie prosty. Skorupka lewa ma brzeg przedni łagodniej zaokrąglony od tylnego. Brzeg zamkowy prosty, brzuszny zaś lekko wklęsły. Pancierz widziany od strony grzbietowej ma kształt jajowato wydłużony. Największa grubość wypada w $\frac{1}{3}$ odległości od strony tylnej. Na całym obwodzie skorupki wykształcone są gładkie listewki i odpowiadające im bruzdy w skorupie przeciwnej. Odciski mięśni zwierających w środku skorupki nie zawsze są widoczne. Zmienność pancerzy w obrębie płci wyraźna. Pancerze żeńskie są zwykle grubsze, męskie bardziej płaskie.

U w a g i. Posiadane okazy tego gatunku odpowiadają ściśle opisowi i rysunkom J o n e s a. W pracy J. S z t e j n opisany jest i narysowany ten gatunek pod nazwą *Cytherella staringi* van Veen. *Cytherella staringi* różni się od *Cytherella ovata* wykształceniem części tylnej pancerzyka, który jest nieco ścięty, i nie jest znana z osadów neokomu z Wąwału.

Rodzaj: *Cytherelloidea* Alexander 1929

Cytherelloidea williamsoniana (J o n e s) 1849
tabl. XVI, fig. 1

1849 *Cytherella williamsoniana* Jones; Jones T. (4), str. 31, tabl. VII, fig. 26.

1890 *Cytherella williamsoniana* Jones; Jones T. & Hinde G. (6), str. 48,
tabl. III, fig. 55—62.

1951 *Cytherelloidea williamsoniana* (J o n e s); Sexton J. (23), str. 813, tabl. 116,
fig. 12—15.

Ilość okazów: 8

Wymiary: ♀ długość skorupki lewej — 0,73 — 0,82 mm

wysokość „ „ — 0,38 — 0,42 mm

O p i s. Pancerzyk płaski o równoległych do siebie brzegach-grzbietowym i brzuszny, brzeg grzbietowy ma lekką zaklesłość w części przedniej brzuszny jest prosty. Brzeg przedni jest półkolisty, tylny ścięty. Grubość pancerzyka większa w części tylnej. Rzeźba powierzchniowa złożona z grubych wałków i głębokich rowków tworzących charakterystyczny wzór. Zaznacza się wyraźnie wałek brzuszny zaczynający się od tylnego brzegu skorupki, a nie dochodzący do brzegu przedniego. Do brzegu przedniego biegnie wałek równoległy przechodzący ku tyłowi i łączący się z wałkiem grzbietowym. W części środkowej położone jest eliptyczne zaklesnięcie otoczone szerokim wałkiem. Cały pancerzyk jest gładki, porcelanowy. Strona wewnętrzna również pofałdowana z dwoma charakterystycznymi dołeczkami przy stronie tylnej. Bruzda zamkowa gładka, różnie wykształcona na obu skorupkach, co spowodowane jest tym, że skorupka lewa obejmuje prawą wzdłuż brzegu grzbietowego i brzuszego.

U w a g i. Posiadane okazy są zgodne z opisami i rysunkami J o n e s a oraz bardzo zbliżone do eoceńskiej *C. montgomeryensis* Howe, różnią się od tej ostatniej szczegółami zewnętrznej rzeźby.

Cytherelloidea subgoodlandensis (V a n d e r p o o l 1933)

tabl. XVI, fig. 4

1938 *Cytheris subgoodlandensis* Vanderpool; Vanderpool H. (9), str. 410,
tabl. 449, fig. 23—25.

1951 *Cytherelloidea subgoodlandensis* Vanderpool; Sexton J. (24), str. 813,
tabl. 116, fig. 9.

1958 *Cytherelloidea subgoodlandensis* Vanderpool; S z t e j n J. (27), str. 88,
tabl. XII, fig. 105.

Ilość okazów: 15

Wymiary: ♂ długość skorupki prawej — 0,63 — 0,68 mm

wysokość „ „ — 0,35 — 0,37 mm

Ilość okazów: 5

Wymiary: ♂ długość skorupki lewej — 1,05 — 1,15 mm
wysokość „ „ — 0,64 — 0,70 mm

Wymiary: ♀ długość skorupki lewej — 0,93 — 0,98 mm
wysokość „ „ — 0,61 — 0,65 mm

Opis. Panczyk o zarysie trójkątnym, silnie wypukły, gładki lub delikatnie punktowany. Największa wysokość w części środkowej. Brzeg grzbietowy ma kształt wysokiego symetrycznego łuku. Brzeg brzuszny jest lekko wypukły. Brzeg przedni łagodnie zaokrąglony, tylny lekko ścięty. Od strony wewnętrznej widoczne są zwapniałe blaszki wewnętrzne szerokie w części przedniej i tylnej, znacznie węższe od strony brzusznej z widocznymi drobnymi kanalikami brzeżnymi, od strony grzbietowej panczyk wykazuje równomierne symetryczne wydęcie obu skorupek.

Rodzina: *Cyprididae* Baird 1845

Podrodzina: *Paracypridinae* Sars 1923

Rodzaj: *Paracypris* Sars 1866

Paracypris siliqua (Jones) 1849

tabl. XVI. I, fig. 2

1849 *Bairdia siliqua* Jones; Jones T. (4), str. 25, tabl. V, fig. 16 f g h

1890 *Paracypris siliqua* Jones & Hinde; Jones T. & Hinde G. (6), str. 2, tabl. II, fig. 48, 49, 51. tabl. III, fig. 33 i 34.

1951 *Paracypris siliqua* Jones & Hinde; Bartenstein H. & Brand E. (24), str. 330, tabl. 14 C, fig. 43.

Ilość okazów: 22

Wymiary: długość skorupki prawej — 0,80 — 0,85 mm
wysokość „ „ — 0,28 — 0,32 mm

Opis. Panczyk wydłużony, wysoki w części przedniej, a ostro zakończony w tylnej. Brzeg przedni łagodnie zaokrąglony. Brzeg grzbietowy łukowaty, załamany w $\frac{1}{3}$ od strony tylnej. Brzeg brzuszny lekko wklęsły. Panczyk od strony grzbietowej ma kształt jajowaty o zaokrąglonych końcach. Powierzchnia skorupki zupełnie gładka. Od wewnątrz widoczne są wyraźne zwapniałe blaszki wewnętrzne, bardzo szerokie w części przedniej, węższe w brzusznej i tylnej. Blizny mięśniowe w $\frac{1}{3}$ odległości od przodu położone w centralnej części skorupki, zwykle bardzo słabo widoczne. Kanaliki brzeżne wyraźne zwłaszcza na blaszkach wewnętrznych.

Podrodzina: *Cypridinae* Baird 1845

Rodzaj: *Stenocypris* Sars 1889

Stenocypris harrisiana (Jones) 1849

tabl. XVI, fig. 3

1849 *Bairdia harrisiana* Jones; Jones T. (4), str. 25. tabl. VI, fig. 17.

1890 *Bairdia harrisiana* Jones; Jones T. & Hinde G. (6), str. 8, tabl. II, fig. 52—55.,

Ilość okazów: 12

Wymiary: długość skorupki lewej — 0,73 — 0,78 mm
 wysokość „ „ — 0,26 — 0,31 mm

O p i s. Panczerzyk owalnie wydłużony, prawie jednakowo wysoki na całej długości. Brzeg przedni łagodnie zaokrąglony, tylny nieco ścięty. Brzeg grzbietowy łukowato wygięty, brzuszny prawie prosty. Od strony grzbietowej panczerzyk ma kształt owalny prawie jednakowej grubości. Od wewnątrz zachowują się zwapniałe wewnętrzne blaszki stosunkowo wąskie, jednakowo szerokie przy brzegu przednim, brzuszny i tylnym. Blizny mięśniowe w środku skorupki słabo widoczne na okazach. Kanałki brzeżne nieliczne, lecz wyraźne zaznaczone w partiach brzeżnych części przedniej i tylnej.

Rodzina: *Cytheridae* Baird 1950

Podrodzina: *Cytherideinae* Sars 1925

Rodzaj: *Cytheridea* Bosquet 1852

Cytheridea thörenensis Triebel 1938

- 1938 *Cytheridea* (*Haplocytheridea*) *thörenensis* Triebel E. (17) str. 482, tabl. 2, fig. 26—29.
- 1938 *Cytheridea* (*Haplocytheridea*) aff. *thörenensis* Triebel E. (17), tabl. 2, fig. 30—34.
- 1951 *Cytheridea* (*Haplocytheridea*) *thörenensis* Triebel; Bartenstein H. & Brand E. (24), str. 331, tabl. 16, fig. 61—62.
- 1957 *Cytheridea* (*Haplocytheridea*) *nana* Triebel; Sztejn J. (27), str. 89, tabl. XIII, fig. 107.
- 1957 *Cytheridea* (*Haplocytheridea*) *rara* Triebel; Sztejn J. (27), str. 90, tabl. XIII, fig. 108.
- 1957 *Protocythere tomaszowiensis* Sztejn; Sztejn J. (27), str. 94, tabl. XV, fig. 115.
- 1957 *Protocythere valangiensis* Sztejn; Sztejn J. (27), str. 95, tabl. XVI, fig. 117.

Ilość okazów: ponad 150

Wymiary, ♂ długość skorupki lewej — 0,80 — 0,84 mm
 wysokość „ „ — 0,55 — 0,60 mm
 Wymiary, ♀ długość skorupki lewej — 0,75 — 0,80 mm
 wysokość „ „ — 0,58 — 0,64 mm

O p i s. Panczerzyk o zarysie trójkątnym o dużej, silnie sklepionej skorupce lewej, która obejmuje znacznie mniejszą wydłużoną skorupkę prawą. Brzeg grzbietowy skorupki lewej jest silniej sklepiony u osobników żeńskich, a największa wysokość wypada mniej więcej w środku panczerzyka. U osobników męskich skorupka lewa jest nieco niższa, a największa wysokość przesunięta jest ku przodowi. Brzeg przedni skorupki prawej i lewej jest łagodnie zaokrąglony, brzeg tylny nieco ostrzejszy. Brzeg brzuszny skorupki lewej płasko łukowaty, u skorupki prawej prawie że prosty lub z delikatnym wybrzuszeniem w części środkowej. Powierzchnia panczerzyka gładka, tylko w skorupce prawej w części przedniej brzegu grzbietowego znajduje się guzek oczny oddzielony rynienką. Cała po-

wierzchnia pokryta jest licznymi porami. W przedniej strefie brzeżnej jak również i tylnej znajdują się liczne drobne kanaliki bardzo wyraźnie zaznaczone. Od strony wewnętrznej widoczna płyta zamkowa z nielicznymi grubymi ząbkami położonymi w partiach skrajnych a połączonych gładką listewką. Odciski mięśni zwierających bardzo wyraźnie się zaznaczają prawie u wszystkich okazów.

U w a g i. U *Cytheridea thörenensis* Triebel skorupki lewe od strony zewnętrznej są zawsze jednakowo wykształcone w obrębie jednej płci, natomiast skorupki prawe są bardzo zmiennie wykształcone i wykazują dużą zmienność tak u osobników żeńskich, jak i męskich. Zmienność ta jest spowodowana tym, iż skorupki lewe w różnym stopniu zachodzą na skorupki prawe. Porównując bogaty materiał z tego gatunku z rysunkami J. S z t e j n znajduje w nim identyczne formy, które autorka ta opisuje pod nazwami *Cytheridea rara* Trieb., *Cytheridea nana* Trieb., *Protocythere tomaszowiensis* S z t e j n, *Protocythere valangiensis* S z t e j n.

Forma pierwsza *C. rara* z pracy J. S z t e j n (tabl. XIII, fig. 108) odpowiada ściśle fot. *C. thörenensis* z pracy Triebela (1938, tabl. 2, fig. 34). *C. nana* opisana przez Triebela (1938, tabl. 3, fig. 58—62) nie odpowiada rysunkom z pracy J. S z t e j n, kształt bowiem skorupki od strony bocznej i grzbietowej jest zupełnie inny. Dwie nowe formy *Protocythere tomaszowiensis* i *Protocythere valangiensis* S z t e j n nie wydają się nowe, gdyż w obrębie prawych skorupek gatunku *C. thörenensis* mam zupełnie identyczne kształty z tymi samymi szczegółami budowy. Moim zdaniem oba wyżej wymienione nowe gatunki opisane przez J. S z t e j n należą bez wątpienia do gatunku *C. thörenensis* Triebel. Błędne więc jest nie tylko oznaczenie gatunkowe, ale również i rodzajowe. Rodzaje *Cytheridea* i *Protocythere* są do siebie tak niepodobne, że trudno jest zrozumieć, jak autorka mogła je pomylić. Aby nie być gołosłownym, podaję najważniejsze cechy rodzaju *Protocythere* według Triebela:

„Małżoraczki należące do rodzaju *Protocythere* charakteryzują się następującymi cechami. Skorupki ich są bardzo nierówne, lewa większa posiada w części przedniej strony grzbietowej charakterystyczne uszko. Na powierzchni skorupki występują trzy duże podłużne wałki lub żebra. Brzeg przedni mają zaokrąglony i zwykle zaopatrzony ząbkami. Brzeg tylny węższy zaokrąglony lub zaostrowany z guzkami lub ząbkami na stronie dolnej. Powierzchnia skorupki między żebrami pokryta jest dołeczkami, żeberkami lub jest gładka. Zamek taksodontowy. Bliźny mięśni zwierających ułożone są w pionowym rzędzie, przed nimi leży jeden odcisk kształtu podkowy. Dymorfizm płciowy wyraźny, skorupki męskie są większe i bardziej smukłe od żeńskich.”

Patrząc na rysunki gatunków *Protocythere tomaszowiensis* i *P. valangiensis* nie widzimy na nich cech, jakie podaje w opisach tego rodzaju Triebel. Również w opisach J. S z t e j n cechy te nie występują. Z powyższych faktów jasno wynika, iż formy podane w pracy J. S z t e j n nie należą do rodzaju *Protocythere*. Widocznie J. S z t e j n oznaczając małżoraczki dolnokredowe nie przestudiowała dokładnie pracy Triebela z 1938, na co wskazuje również fakt, iż dwa następne gatunki

z rodzaju *Protocythere*, a mianowicie *P. triplicata* i *P. auriculata* w pracy J. Sztejn są zupełnie błędnie oznaczone, gdyby autorka przeglądała przynajmniej klucz zamieszczony w pracy Triebela (1938 str. 181), nie zaliczyłaby posiadanych form do tych gatunków.

Gatunki *P. tomaszowiensis* i *P. valangiensis* na podstawie rysunków i opisów J. Sztejn i posiadanych okazów włączam do synonimiki gatunku *Cytheridea thörenensis*.

Cytheridea kummi Triebel 1938

1938 *Cytheridea (Haplocytheridea) kummi* Triebel; Triebel E. (17) str. 486, tabl. 3, fig. 48, 52, tabl. 6, fig. 87.

1957 *Cytheridea (Haplocytheridea) kummi* Triebel; Sztejn J. (24) str. 88, tabl. XII, fig. 106.

Ilość okazów: 60

Wymiary:	♂	długość skorupki lewej	0,95 — 1,08 mm
		wysokość „ „	0,83 — 0,86 mm
	♀	długość skorupki lewej	0,90 — 0,93 mm
		wysokość „ „	0,78 — 0,81 mm

Opis. Opisana przez Triebela *Cytheridea kummi* jest formą dużą i grubą, obie skorupki u tego gatunku różnią się między sobą wielkością i kształtem. Skorupki lewe znacznie większe, nieraz prawie że okrągłe, obejmują od strony grzbietowej i brzusznej mniejsze wydłużone skorupki prawe. Skorupki wykazują dyformizm płciowy. Skorupki osobników żeńskich są krótkie jajowate o prawie jednakowo zaokrąglonych brzegach — przednim i tylnym. Pancerzyki osobników męskich są bardziej wydłużone z rzadko rozmieszczonymi dołeczkami, w których znajdują się ujścia kanalików. W strefie brzeżnej znajduje się 12 kanałów. Na stronie grzbietowej skorupki stwierdzamy w częściach przednich lekkie zakłębienie lepiej widoczne na skorupkach osobników żeńskich. Płyty zamkowe lewych skorupki są dwuczęściowe, posiadające w części przedniej i tylnej 6 — 8 karbów, partie zaś między nimi położone są gładkie. Odciski mięśni zwierających wyraźnie zaznaczone są na prawie wszystkich okazach.

Cytheridea vonvalensis Sztejn 1957

tabl. XVI, fig. 6, rys. 1

1957 *Cytheridea (Haplocytheridea) vonvalensis* Sztejn; Sztejn J. (27) str. 91, tabl. XIV, fig. 110.

Ilość okazów: 30

Wymiary:	♀	długość skorupki prawej	— 0,50 — 0,54 mm
		wysokość „ „	— 0,42 — 0,48 mm
	♂	długość „ „	— 0,50 — 0,54 mm
		wysokość „ „	— 0,46 — 0,50 mm

Opis. Opis tego gatunku w pracy J. Sztejn jest bardzo niejasny i nie podkreśla istotnych cech gatunkowych, dlatego też uważam za właściwe uzupełnienie podanego przez autorkę opisu.

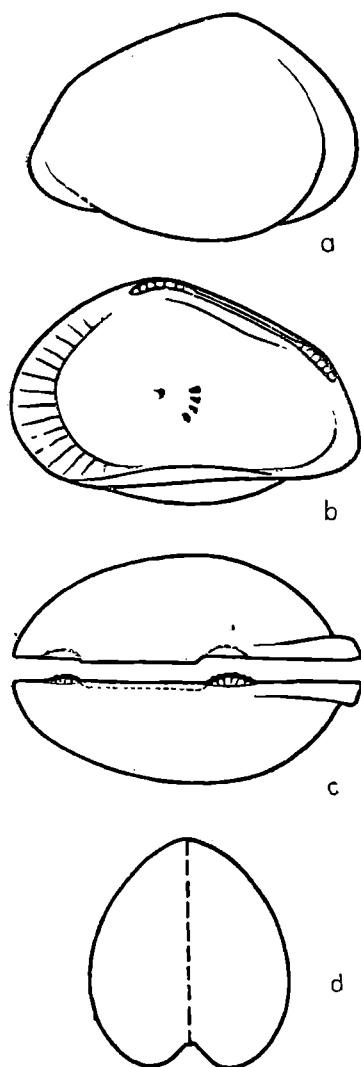


Fig. 1. *Cytheridea vonvalensis* Sztejn 1957.
 a — skorupka prawa od zewnątrz; b — skorupka
 prawa od wewnątrz; c — pancerzyk od strony
 grzbietowej; d — przekrój poprzeczny pan-
 czerzyka

a — valve droite vue externe; b — valve droite,
 vue interne; c — carapace, vue du côté dorsal;
 d — coupe transversale de la carapace

Pancerzyk o zarysie trójkątnym, silnie sklepiony. Brzeg grzbietowy jest u niego tępo załamany w 1/3 od przodu. Brzeg przedni łagodnie zaokrąglony, tylny ścięty. Brzeg brzuszny prawie prosty, nieco wgięty do wewnątrz. Pancerzyk w części środkowej silnie wydęty, w części brzusznej tworzy workowatą obwisłość wychodzącą poza brzeg brzuszny. Dzięki takiemu wykształceniu na przekroju poprzecznym pancerzyk ma kształt odwróconego serca. Przy brzegu przednim tworzy się spłaszczona strefa brzeżna z nielicznymi kanalikami biegnącymi prostolinijnie. Cała powierzchnia zewnętrzna jest gładka i pokryta dość dużymi rzadkimi porami. Płyta zamkowa skorupki prawej w części przedniej ma wystającą płytkę złożoną z 5 lub 6 zrosniętych ze sobą ząbków, część środkowa jest prostym głębokim rowkiem na końcu, którego druga płytką jest złożona z 6 ząbków. Płytki z ząbkami wchodzą w odpowiednie zagłębienia skorupki lewej, która jest zwykle nieco mniejsza od prawej. Wewnątrz skorupki widoczne są wyraźne duże blaszki wewnętrzne z rzadkimi prostolinijnie biegnącymi kanalikami. W części centralnej widoczne jest pole bliznowe. Okazy żeńskie są zwykle wyższe i bardziej wydęte od męskich.

1938 *Protocythere auriculata* (Cornuel); Triebel E. (16), str. 195, tabl. 2, fig. 27—31.

non 1957 *Protocythere auriculata* (Cornuel); Sztejn J. (27), str. 93, tabl. XV, fig. 114.

Ilość okazów: 3

Wymiary: długość skorupki prawej — 0,85 — 0,88 mm
 wysokość „ „ — 0,46 — 0,50 mm

Opis. Pancrzyk wydłużony o prawie prostych brzegach grzbietowym i brzuszonym. Brzeg przedni zaokrąglony, tylny załamany i ostro zakończony. Na przednim brzegu i dolnej części brzegu tylnego występują ząbki (na brzegu przednim około 10, na tylnym 5). Powierzchnia pancrzyka gładka, błyszcząca, z dwoma lub trzema podłużnie biegnącymi wałkami dochodzącymi do kołnierzykowatego spłaszczenia strony przedniej. U niektórych okazów jest tylko jedno szerokie wyłucie na obu skorupkach. Skorupka lewa jest większa z dużym uszkiem w przedniej części strony grzbietowej. Pancrzyk widziany od strony grzbietowej jest szerszy w przedniej części a zwęża się ku tyłowi.

Uwagi. J. Sztejn podaje rysunek tego gatunku na tabl. XV, fig. 114. Z rysunku wynika, iż jego pancrzyk ma gładki brzeg tylny i przedni, co nie jest zgodne z opisami nie tylko innych autorów, ale również z opisem J. Sztejn, która pisze wyraźnie, iż oba brzegi tego gatunku są ząbkowane. Rysunek więc nie jest zgodny z opisem. Poza tym rysunek J. Sztejn jest niezgodny z rysunkiem Jonesa & Hindego oraz ze zdjęciami Triebela u których zarysy skorupki tego gatunku są nieco inne z wyraźnymi ząbkami na brzegu przednim i tylnym.

Okazy *Protocythere auriculata*, które posiadam z walanżynu Wąwału, są zgodne z formami znanymi z dolnej kredy Anglii i Niemiec. Na tablicy XVI, fig. 116 w pracy J. Sztejn jest przedstawiony rysunek małżoraczka błędnie oznaczonego jako *Protocythere triplicata* Triebel, a który bardzo zbliżony jest do *Protocythere auriculata* (Cornuel). W materiale z Wąwału gatunku *Protocythere triplicata* nie znalazłem.

Protocythere propria Sharapova 1939
tabl. XVII, fig. 1

1951 *Protocythere propria* Sharapova; Bartenstein H. & Brand E. (24) str. 332, tabl. 14 A, fig. 40 i 41, tabl. 14 C, fig. 49—52, tabl. 15 C, fig. 6 i 7, tabl. 15 D, fig. 45—50, tabl. 20; fig. 9—11.

1957 *Cythereis senckenbergi* Triebel; Sztejn J. (27) str. 91, tabl. XIV, fig. 111.

Ilość okazów: ponad 200

♂ długość lewej skorupki — 1,00 — 1,05 mm
 wysokość „ „ — 0,68 — 0,72 mm
♀ długość lewej skorupki — 0,95 — 1,00 mm
Wymiary: wysokość „ „ — 0,60 — 0,66

Opis. Pancrzyk czworokątny, grubościenny z prostymi i równoległymi do siebie biegnącymi brzegami grzbietowym i brzuszonym, brzeg przedni łagodnie zaokrąglony z drobnymi gęstymi ząbkami na obwodzie.

Brzeg tylny węższy różnie wykształcony u obu skorupek z drobnymi ząbkami w dolnej części. Na powierzchniach bocznych znajdują się 3 wałeczki zgrubienia biegnące wzdłuż skorupki, a dochodzące do spłaszczenia przy brzegu przednim i tylnym. Środkowy wałek posiada dwa guzy, duży okrągły przedni i mniejszy eliptyczny tylny. Wałek brzuszny w części przedniej łukowato się podnosi. Powierzchnia wałków jako też spłaszczeń bocznych pokryta jest gęsto okrągłymi lub wielokątnymi dołeczkami. Brzegi dołeczek tworzą charakterystyczną, niezbyt regularną siatkę na powierzchni, która w części brzusznej przybiera charakter regularnych wieloboków. Spłaszczone części przednia i tylna oprócz dołeczek mają również w strefie czołowej dość duże nieliczne guzki. Skorupka lewa jest większa i ma w części przedniej strony grzbietowej duże, zwykle o gładkiej powierzchni uszko. Skorupka prawa mniejsza uszka nie posiada. Na wewnętrznej stronie skorupek widoczne są płyty zamkowe z prostopadle ułożonymi grubymi ząbkami bardzo wyraźnymi w częściach skrajnych płyty zamkowej, a zanikające w części środkowej. Blizny mięśniowe wyraźne umieszczone w części przedniej skorupki. Na wielkiej ilości posiadanych okazów można prześledzić rozwój ontogenetyczny tego gatunku. Formy młodociane różnią się znacznie od dojrzałych tak kształtem, jak i rzeźbą.

U w a g i. J. S z t e j n w swej pracy rysuje i opisuje gatunek *Protocythere propria* S h a r a p o v a nadając mu nazwę gatunkową *Cythereis senckenbergi* T r i e b. Porównując okazy z Wąwału z rysunkami gatunku *Cythereis senckenbergi* podanymi przez T r i e b e l a w 1940 (str. 180, tabl. 2, fig. 31, oraz tabl. 3, fig. 32—42 i tabl. 9, fig. 105, tabl. 10, fig. 106) trudno dopatrzeć się podobieństwa, tak bowiem kształt jak i rzeźba powierzchniowa *C. senckenbergi* złożona z dużych dołeczek w niczym nie przypomina okazów z Wąwału, które niewątpliwie należą do gatunku *Protocythere propria*. Stwierdzenie tego faktu jest bardzo ważne gdyż *Protocythere propria* jest przewodnią formą dla walanżynu. W zespole małżoraczków z Wąwału gatunek ten jest najpospolitszym i potwierdza wiek warstwy z której został wzięty materiał do badań, która to na podstawie makrofauny została określona na walanżyn.

Rodzaj: *Exophthalmocythere* T r i e b e l 1938

Exophthalmocythere hispida n. sp.
tabl. XVIII, fig. 1, rys. 2

1951 *Exophthalmocythere* n. sp. B a r t e n s t e i n & B r a n d; B a r t e n s t e i n H. & B r a n d E. (24) str. 333, tabl. 15 D, fig. 36, tabl. 20, fig. 21.

1957 *Exophthalmocythere* aff. *phyllopterum* (B o s q.); S z t e j n J. (27) str. 92, tabl. XIV, fig. 112.

Holotypus: okaz przedstawiony na tabl. XVIII, fig. 1a.

Stratum typicum: walanżyn

Locus typicus: Wąwał koło Tomaszowa Maz.

Derivatio nominis: od charakterystycznych kolców na powierzchni.

Ilość okazów: 28

Wymiary:

długość skorupki prawej — 0,80 — 0,84 mm

♂ wysokość „ „ — 0,43 — 0,46 mm

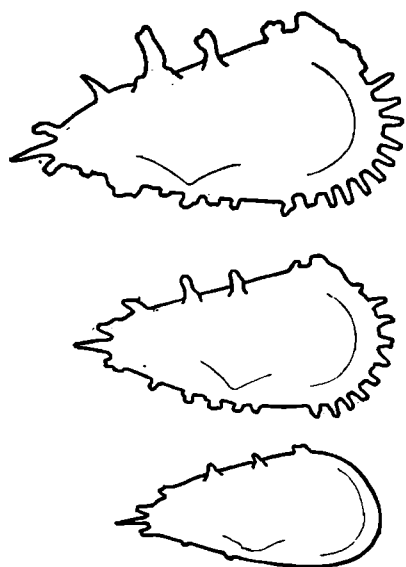


Fig. 2. *Exophthalmocythere hispida* n. sp. Stadia rozwojowe prawej skorupki u okazów męskich. Stades d'évolution de la valve droite chez les spécimens mâles

grubych krótkich narośli. Patrząc na skorupkę od strony grzbietowej widzimy, iż wyrostek boczny powoduje charakterystyczne rozszerzenie środkowej dolnej części pancerzyka. Cienkościenność pancerzyka uwiadczenia kanaliki przebijające ścianki oraz kanaliki brzeżne przy brzegach przednim i tylnym. Płyta zamkowa prosta posiada na końcach zwykle pojedyncze grube ząbki w skorupce lewej, które wchodzą w odpowiednie zagłębienia skorupki prawej. Bliżny mięśniowe słabo widoczne. Okazy żeńskie różnią się od męskich tym, że są znacznie szersze w części tylnej oraz posiadają mniejszą ilość kolców na swej powierzchni.

Jones T. w swej pracy z 1890 zamieszcza na tabl. III, fig. 9 i 10 rysunki gatunku *Cytheropteron? phyllopterum* (Bosquet). Forma ta aczkolwiek wykazująca znaczne podobieństwo do okazów występujących w walanżynie Wawału różni się od nich bardzo. Kształt skorupek od stron bocznych i ich wymiary są zgodne, natomiast wykształcenie ząbków na brzegach czołowym i tylnym jak również ich rozmieszczenie jest zupełnie inne. U naszych okazów skorupki są wydęte w swych środkowych partiach, u form Jonesa zaś w częściach tylnych, przez co zmienia się zupełnie kształt pancerzyków. Również szereg dalszych drobnych różnic nie pozwala na zaliczenie naszych okazów do gatunku *C. ? phyllopterum* (Bosquet).

U w a g i. W pracy J. Sztejn opisana jest forma młodociana tego gatunku pod nazwą *Exophthalmocythere* aff. *phyllopterum* (Bosq.). Autorka posiadając okazy dwukrotnie mniejsze od opisanych w pracy Jonesa & Hinde'go oraz nie posiadające kolców na brzegu czołowym porównuje z formami umieszczonymi w pracy Bartensteina H. & Branda E. Moim zdaniem formy z walanżynu nie należą do gatunku *Exophthalmocythere phyllopterum* (Bosq.), lecz są zgodne ze zdjęciami w pracy Bartensteina & Branda. Autorzy ci nie opi-

O p i s. Pancerzyk wydłużony, szeroki w części przedniej, a zwężający się ku tyłowi. Brzeg grzbietowy i brzuszny proste. Brzeg przedni łagodnie zaokrąglony posiada brzeżne zgrubienie, na którym osadzone są liczne (10—15) długie tępe ząbki. Ząbki w części górnej przedniego brzegu nieraz się zrastają tworząc ciekawą płytkę. Brzeg tylny skorupki silnie zwężony posiada 3 długie kolce, z których środkowy jest zwykle dwukrotnie dłuższy od bocznych. Na brzegu brzuszny w części tylnej występują ząbki w ilości 3—5, ale znacznie krótsze i tylko u osobników męskich. Powierzchnie boczne są gładkie, szklące, noszące w górnej części zwykle 2—3 walcowate kolce. Przy brzegu brzuszny występuje jeden duży stożkowaty wyrostek, na którym znajduje się nieraz szereg

sują ani też nie nadają nazwy gatunkowej tym formom, dlatego też opisując ten gatunek z łąk walanżynu z Wąwału nadają mu nową nazwę gatunkową *hispidą* od licznych kolców występujących na powierzchniach skorupki tego gatunku.

Podrodzina: *Cytherurinae* Müller 1894

Rodzaj: *Orthonotacythere* Alexander 1933

Orthonotacythere diglypta Triebel 1941
tabl. XVIII, fig. 3, rys. 3

1941 *Orthonotacythere diglypta* Triebel; Triebel E. (21) str. 391, tabl. 4; fig. 33—37.

1957 *Orthonotacythere polonica* Szejn; Szejn J. (27) str. 93, tabl. XV, fig. 113.

Ilość okazów: 18

Wymiary: ♂ długość skorupki lewej — 0,65 — 0,68 mm
wysokość „ „ — 0,33 — 0,36 mm

Opis. Gatunek ten opisany przez Triebela w 1941 posiada bardzo charakterystyczny kształt rzadko spotykany wśród małżoraczków. Pancerzyk ma brzeg grzbietowy prosty lekko pofałdowany, brzeg przedni łagodnie zaokrąglony, brzuszny zaś łukowato wygięty podnosi się ku górze tworząc w części tylnej ostre lub ścięte zakończenie pancerzyka. Na bocznych powierzchniach skorupki występuje rzeźba złożona z systemu ostrych żeber, z których część biegnie równoległe do brzegów skorupki, inne przecinają ją w różnych kierunkach, dzięki czemu tworzą się zamknięte pola, na których rozmieszczone są rzadkie, lecz dość duże okrągłe dołeczki. Centralne pole między żeberkami jest nieco zagłębione, co dobrze widać od strony wewnętrznej. Ta poprzeczna zakłębłość dzieli skorupkę na dwie części. Obserwując okazy młodociane i dojrzałe możemy dokładnie prześledzić rozwój pancerzyków. U form młodocianych zasadniczy kształt jest ten sam co u form dojrzałych, rzeźba natomiast powierzchniowa nie wykazuje żebrowania, wyraźne są natomiast dołeczki i poprzeczne zakłębłości oraz występujące na nich ząbki na brzegu przednim i dolnej części brzegu tylnego. W miarę rozwoju pancerzyka i tworzenia się żeber pancerzyk wzmacnia się i zarastają ząbki na brzegach, w tych miejscach, gdzie one były, pozostają na żebrach biegnących równoległe do brzegów skorupki wyraźne prostopadłe roweczki.

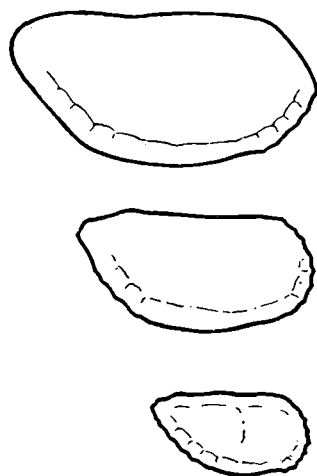


Fig. 3. *Orthonotacythere diglypta* Triebel 1941. Stadia rozwojowe prawej skorupki u okazów męskich
Stades d'évolution de la valve droite chez les spécimens mâles

U w a g i. W pracy swej J. Szejn opisuje młodociane formy z ga-

tunku *Orthonotacythere diglypta* Triebel jako nowy gatunek *O. polonica*. Wśród posiadanych okazów mam wszystkie stadia rozwojowe tego gatunku a stadium młodociane jest zgodne z rysunkiem i opisem autorki. Jak to się stało, że w tak obfitym materiale nie znalazła ona dojrzałych form, tylko młodociane (120 okazów), jest bardzo dziwne. Okazy młodociane tego gatunku są bardzo delikatne, a formy dorosła mają wyjątkowo silne grube skorupki, dzięki czemu są znacznie częstsze, młodociane zaś występują tylko sporadycznie.

Podrodzina: *Loxoconchinae* Sars 1926

Rodzaj: *Loxoconcha* Sars 1866

Loxoconcha sp.
tabl. XVIII, fig. 2

Ilość okazów: 1

Wymiary: długość skorupki lewej — 0,44 mm
Wysokość „ „ — 0,27 mm

Opis. Panczyk romboidalny, silnie wydęty ma całą powierzchnię zewnętrzną pokrytą drobnymi dołeczkami ułożonymi koncentrycznie. Kanalki brzeżne drobne, prostolinijnie biegnące, niezbyt gęsto obok siebie położone. Zamek skorupki lewej złożony jest z zagłębień połączonych wystającą listewką. Odciski mięśni zwierających bardzo wyraźnie zaznaczone.

Uwagi. W zbiorze małżoraczków kredowych z Wąwahu znaleziono 1 okaz z tego rodzaju, i to tylko lewą skorupkę. Dlatego też mimo bardzo dobrego stanu zachowania nie oznaczono go gatunkowo.

Zakład Paleontologii AGH

Kraków, kwiecień 1959

WYKAZ LITERATURY

REFERENCES

1. Alexander C. (1927), The Stratigraphic Range of the Cretaceous Ostracod *Bairdia subdeltoidea* and Its Allies. *Jour. of Pal.* vol. 1.
2. Alexander C. (1933), Shell Structure of the Ostracode Genus *Cytheropteron* and Fossil Species from the Cretaceous of Texas. *Jour. of Pal.* vol. 7, s. 181—214, tabl. 25—27, Menasha.
3. Alexander C. (1934), Ostracoda of the genera *Monoceratina* and *Orthonotacythere* from the Cretaceous of Texas. *Jour. of Pal.* vol. 8, Menasha.
4. Alexander C. (1936), Ostracoda of the genera *Eucythere*, *Cytherura*, and *Loxoconcha* from the Cretaceous of Texas. *Jour. of Pal.* vol. 10, s. 689—694, tab. 93, Menasha.
5. Bartenstein H. & Brand E. (1951), Mikropaläontologische Untersuchungen zur Stratigraphie der nordwestdeutschen Valendis, *Senckenbergiana* 435, Frankfurt a. M.

6. Cornuel J. (1846), Description des Entomostracés fossiles du terrain crétacé inférieur du Département de la Haute-Marne. *Mém. Soc. géol. France* (2) 1, s. 193—205, tab. 7.
7. Cornuel J. (1848), Description de nouveaux fossiles microscopiques du terrain crétacé inférieur du Département de la Haute-Marne. *Mém. Soc. géol. France* (2) 3, s. 241—262, tab. 3.
8. Geoch D. (1939), Some Ostracoda of the genus *Cytheris* from the Cook Mountain Eocene of Louisiana. *Jour. of Pal.* vol. 13, s. 580—588, tab. 67, Menasha.
9. Howe H. (1934), The Ostracoda Genus *Cytherelloidea* in the Gulf Coast Tertiary. *Jour. of Pal.* vol. 8 (1), Menasha.
10. Howe H. (1936), Ostracoda of the Genus *Eucythere* from the Tertiary of Mississippi, *Jour. of Pal.* vol. 10, s. 143—145, Menasha.
11. Jones T. (1849), A Monograph of the Entomostraca of the Cretaceous formation of England. *Paleont. Soc.*, London.
12. Jones T. & Hinde G. (1890), A supplementary monography of the Cretaceous Entomostraca of England and Ireland. *Paleont. Soc.* London.
13. Martin G. (1940), Ostracoden des norddeutschen Purbeck und Wealden. *Senckenbergiana* 22, s. 275—361, tab. 1—12, Frankfurt a. M.
14. Mertens E. (1957), Zur Grenzziehung Alb-Cenoman in Nordwestdeutschland mit Hilfe von Ostracoden. *Geol. Jahrbuch B.* 72, s. 173—229, tab. 1—14, Hannover.
15. Pokorný V. (1954), Základy zoologické mikropaleontologie, Praha.
16. Pokorný V. (1958), Grundzüge der Zoologischen Mikropaläontologie, Berlin.
17. Roemer F. A. (1841), Die Versteinerungen des Norddeutschen Kreidegebirges. Hannover.
18. Schmit R. (1948), Ostracoda from the Upper Cretaceous and Lower Eocene Maryland and Virginia. *Jour. of Pal.* vol. 22 (4), Menasha.
19. Sexton J. (1951), The ostracod *Cytherelloidea* in North America. *Jour. of Pal.* vol. 25, (6), Menasha.
20. Sztejn J. (1957), Stratygrafia mikropaleontologiczna dolnej kredy w Polsce Środkowej, Warszawa.
21. Terquem M. (1878), Les Foraminifères et les Entomostracés Ostracodes du Pliocène supérieur de l'île de Rhodos. *Mém. Soc. géol. France* (3) 1, s. 1—135, tab. 1—14, Paris.
22. Triebel E. (1938), Ostracoden Untersuchungen 1. *Protocythere* und *Exophthalmocythere*, zwei neue Ostracoden-Gattungen aus der deutschen Kreide. *Senckenbergiana* 20, s. 179—200, tab. 1—3, Frankfurt a. M.
23. Triebel E. (1938), Die Ostracoden der deutschen Kreide. 2. Die *Cytheridea*-Arten der Unteren Kreide. *Senckenbergiana* 20, s. 471—501, tab. 1—6, Frankfurt a. M.
24. Triebel E. (1940), Die Ostracoden der deutschen Kreide. 3. *Cytherideinae* und *Cytherinae* aus der Unteren Kreide. *Senckenbergiana* 22, s. 160—227, tab. 1—10, Frankfurt a. M.
25. Triebel E. (1941), Zur Morphologie und Ökologie der fossilen Ostracoden. Mit Beschreibung einiger neuer Gattungen und Arten. *Senckenbergiana* 23, s. 294—400, tab. 1—15, Frankfurt a. M.
26. Vanderpool H. (1933), Upper Trinity Microfossils from Southern Oklahoma. *Jour. of Pal.* vol. 7 (4), Menasha.
27. Weber H. (1934), Die Eignung der Ostracoden zu stratigraphischen Zwecken. *Zeit. deutsch. geol. Ges.* 86, s. 478—481, Berlin.

RÉSUMÉ

Abstract. L'auteur présente la détermination des Ostracodes du Valanginien de la localité Wąwał près de Tomaszów Mazowiecki. Il a constaté la présence de 17 espèces y compris 1 n. sp. et il compare cette faune avec celle d'Ostracodes présentée par J. S z t e j n, 1957.

A l'occasion des levées cartographiques en 1945, exécutées aux environs de Biała Góra près de Tomaszów Mazowiecki, j'ai ramassé dans une glaisière de la briqueterie à Wąwał un échantillon (d'à peu près 2 kilogrammes du poids) d'argiles de Valanginien. Après le lavage de cet échantillon j'ai constaté la présence d'une belle faune de Foraminifères et d'Ostracodes. Vu leur bonne conservation et assez grande diversité de leurs espèces, j'ai pris surtout l'intérêt à Ostracodes. Or, après avoir déterminé la plupart d'espèces j'ai abandonné mon travail faute d'une littérature complète. La publication, en 1957, du travail de J. S z t e j n intitulé: „Stratigraphie micropaléontologique du Crétacé inférieur de la Pologne centrale” m'a décidé pourtant d'achever mes recherches sur Ostracodes puisque l'auteur du travail mentionné décrit non seulement les Foraminifères, mais aussi une association d'Ostracodes du Crétacé inférieur.

Après avoir examiné encore une fois ma collection d'Ostracodes et l'avoir comparée avec les dessins et les descriptions de J. S z t e j n, j'ai constaté de grandes différences entre nos déterminations et c'est pourquoi que je considère comme justifié de publier cette notice.

LISTE COMPARATIVE D'OSTRACODES DÉTERMINÉES PAR J. SZTEJN ET DE CELLES DÉTERMINÉES PAR L'AUTEUR

liste de J. S z t e j n	liste d'auteur
<i>Cytherella staringi</i> van Veen 1932	<i>Cytherella ovata</i> (Roemer), 1841
<i>Cytherelloidea subgoodlandensis</i> Vanderpool 1938	<i>Cytherelloidea williamsoniana</i> (Jones) 1849
<i>Cytheridea nana</i> Triebel 1938	<i>Cytherelloidea subgoodlandensis</i> Vanderpool 1938
<i>Cytheridea rara</i> Triebel 1938	<i>Cytherelloidea subgoodlandensis</i> var.
<i>Cytheridea thörenensis</i> Triebel 1938	<i>Bairdia subdeltoidea</i> (Münster) 1849
<i>Protocythere tomaszowiensis</i> S z t e j n 1957	<i>Paracypris siliqua</i> (Jones) 1849
<i>Protocythere valangiensis</i> S z t e j n 1957	<i>Stenocypris harrisiana</i> (Jones) 1849
<i>Cytheridea kummi</i> Triebel 1938	<i>Cytheridea thörenensis</i> Triebel 1938
<i>Cytheridea vonvalensis</i> S z t e j n 1957	<i>Cytheridea kummi</i> Triebel 1938
<i>Prothocythere auriculata</i> (Cornuel) 1846	<i>Cytheridea vonvalensis</i> S z t e j n 1957
<i>Protocythere triplicata</i> (Roemer) 1841	<i>Dolocytheridea hilseana</i> (Roemer) 1841
<i>Cytheris senckenbergi</i> Triebel 1940	<i>Protocythere auriculata</i> (Cornuel) 1846
<i>Exophthalmocythere</i> aff. <i>phyllopterum</i> (Bosq.) 1847	<i>Protocythere frankei</i> Triebel 1938
	<i>Protocythere propria</i> Sharapova 1939

Orthonotacythere polonica Szejn 1957 *Exophthalmocythere hispida* n. sp.
Orthonotacythere diglypta Triebel 1941
Loxoconcha sp.

Genre: *Exophthalmocythere* Triebel 1938

Exophthalmocythere hispida n. sp.

Pl. XVIII, fig. 1; fig. 2

1951 *Exophthalmocythere* n. sp. Bartenstein & Brand; Bartenstein H.
Brand E. (24), str. 333, Pl. 15 D, fig. 36, Pl. 20, fig. 21
1957 *Exophthalmocythere* aff. *phyllopterum* (Bosq.); Szejn J. (27), p. 92, Pl.
XIV, fig. 1,2

Holotypus: spécimen présenté sur la Pl. XVIII, fig. 1a

Stratum typicum: Valanginien

Locus typicus: Wąwał près de Tomaszów Mazowiecki

Derivatio nominis: d'après présence d'épines caractéristiques sur la surface

Nombre des spécimens: 28

Dimensions: longueur de la valve droite 0,80 — 0,84 mm

hauteur " " " " 0,43 — 0,46 mm

Description. Carapace allongée, large dans sa partie antérieure et rétrécie vers la partie postérieure. Les bords dorsal et ventral droits. Bord antérieur doucement arrondi possède un renflement bordial avec de nombreux (10–15) denticules longs et obtus. Dans la partie supérieure du bord antérieur les denticules sont parfois soudés et forment alors une mince plaquette. Le bord postérieur de la coquille, fortement rétréci, possède 3 longues épines, dont la centrale est d'ordinaire deux fois plus longue que les épines bordiales. Sur le bord ventral, dans la partie postérieure il y en a 3 — 5 denticules, mais ils sont beaucoup plus courts et paraissent seulement chez les individus mâles. Les surfaces bordiales lisses et luisantes possèdent d'ordinaire dans leur partie supérieure des épines cylindriques. Sur le bord ventral on aperçoit un appendice conique sur lequel se trouve parfois une rangée de courts et gros renflements. Vue d'en haut, la carapace démontre dans sa partie antérieure médiane un élargissement caractéristique, dû à la présence d'un appendice latéral. Puisque la carapace est très fine on peut voir les petits canaux (canalicules) perçant les parois et les canalicules latéraux le long du bord antérieur et du bord postérieur. La charnière possède d'habitude sur les extrémités de sa valve gauche de gros denticules séparés pénétrant dans les cavités correspondantes de la valve droite. Les traces des muscles sont peu visibles. Les spécimens femelles diffèrent des spécimens mâles par la largeur de leur partie postérieure et par le nombre plus petit des épines sur leur surface. T. Jones présente sur la planche III, fig. 9 et 10 de son travail (1890) l'espèce *Cytheropteron? phyllopterum* (Bosquet). Cette forme démontre autant des ressemblances avec les spécimens provenant du Valanginien de Wąwał, que de grandes différences. Les dimensions et la forme de leurs coquilles vue des cotés latéraux, correspon-

dent, mais la formation des denticules, placés sur le bord antérieur et postérieur, ainsi que leur dislocation diffèrent entièrement. Les coquilles de nos spécimens sont gonflées dans leurs parties médianes et celles de Jones dans leurs parties postérieures, ce que change entièrement l'aspect de leurs carapaces. Ces différences, ainsi que quelques unes moins importantes, ne permettent pas d'attribuer nos spécimens à l'espèce *C? phyllopterum* (Bosquet). Remarques. Dans son travail J. Szejn décrit sous la dénomination: *Exophthalmocythere aff. phyllopterum* (Bosq.) une forme juvénile de notre espèce. Cette forme est deux fois plus petite que ces présentées par Jones & Hind et n'a pas des épines sur leur bord frontal, J. Szejn les compare avec la forme *Exophthalmocythere sp.* de Bartenstein H. & Brand. A mon avis la forme du Valanginién n'appartient pas à l'espèce *Exophthalmocythere phyllopterum* (Bosq.) mais elle est conforme à photos des spécimens dans le travail de Bartenstein & Brand. Pourtant, puisque ces auteurs ne décrivent pas les dites formes et ne leur donnent une dénomination spécifique, en décrivant cette forme des spécimens d'argiles du Valanginién, je lui donne une nouvelle dénomination spécifique *hispida* à cause de nombreuses épines paraissant sur les surfaces des coquilles.

Traduit par M. Langie

OBJAŚNIENIA TABLIC

EXPLICATION DES PLANCHES

Tablica XVI
Planche XVI

- Fig. 1. *Cytherelloidea williamsomiana* (Jones) × 70
♀ a — skorupka lewa od zewnątrz; b — skorupka lewa od zewnątrz
c — profil podłużny skorupki lewej.
a — valve gauche, vue externe; b — valve gauche, vue interne;
c — profil de la valve gauche
- Fig. 2. *Paracypris siliqua* (Jones) × 70
♂ a — skorupka prawa od zewnątrz; b — skorupka prawa od wewnątrz
a — valve droite, vue externe; b — valve droite, vue interne
- Fig. 3. *Stenocypris harrisiana* (Jones) × 70
♂ a — skorupka lewa od zewnątrz; b — skorupka lewa od wewnątrz
a — valve gauche, vue externe; b — valve gauche, vue interne
- Fig. 4. *Cytherelloidea subgoodlandensis* Vand. × 70
♂ a — skorupki prawa od zewnątrz; b — skorupka prawa od wewnątrz;
a — valve droite, vue externe; b — valve droite, vue interne
- Fig. 5. *Cytherelloidea subgoodlandensis* Vand. sp. × 70
♀ a — skorupka prawa od zewnątrz; b — skorupka prawa od wewnątrz;
a — valve droite, vue externe; b — valve droite, vue interne

Tablica XVII
Planche XVII

- Fig. 1. *Protocythere propria* Sharapova × 70
♂ a — skorupka prawa od zewnątrz; b — skorupka prawa od wewnątrz;
c — skorupka lewa od zewnątrz; d — skorupka lewa od wewnątrz;
e — skorupka prawa formy młodocianej; f — pancerzyk widziany od
strony grzbietowej; g — skorupka lewa formy młodocianej
a — valve droite, vue externe; b — valve droite, vue interne;
c — valve gauche, vue externe; d — valve gauche, vue interne;
e — valve droite d' une forme juvenile; f — carapace, vue du côté
dorsal; g — valve gauche, d' une forme juvenile
- Fig. 2. *Bairdia subdeltoidea* (Münster) × 55
♂ a — skorupka lewa od zewnątrz; b — skorupka lewa od wewnątrz
a — valve gauche, vue externe; b — valve gauche, vue interne

Tablica XVIII
Planche XVIII

Fig. 1. *Exopthalmocythere hispida* n. sp. × 70

- ♂ a — skorupka lewa od zewnątrz; b — skorupka lewa od wewnątrz;
c — profil podłużny skorupki lewej
a — valve gauche, vue externe; b — valve gauche, vue interne;
c — profil de la valve gauche

Fig. 2. *Loxococoncha* sp. × 70

- a — skorupka lewa od zewnątrz; b — skorupka lewa od wewnątrz
a — valve gauche, vue externe; b — valve gauche, vue interne

Fig. 3. *Orthonotocythere diglypta* Triebel × 70

- ♂ a — skorupka lewa od zewnątrz; b — skorupka lewa od wewnątrz;
c — zarys pancerzyka od strony grzbietowej; d i e — skorupki prawe
form młodocianych
a — valve gauche, vue externe; b — valve gauche, vue interne;
c — contour de la carapace du côté dorsal; d et e — valves droites
des formes juveniles

Fig. 4. *Protocythere frankei* Triebel × 70

